

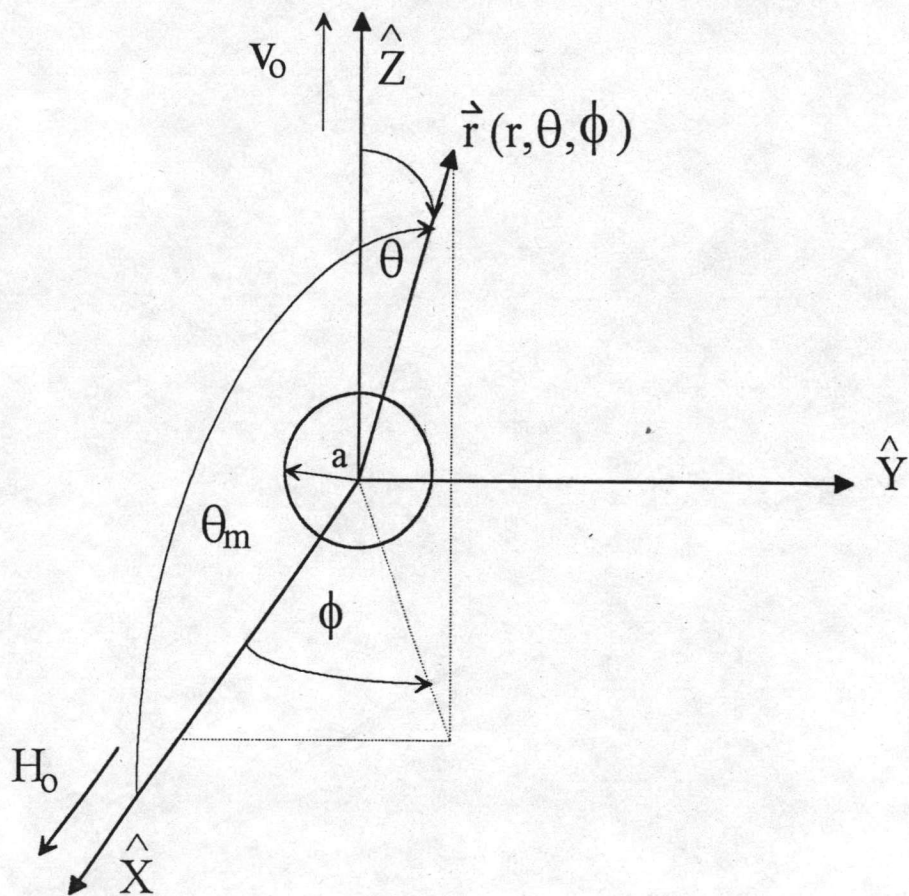
บทที่ 3

ทฤษฎีการจับอนุภาคแม่เหล็กแบบสามมิติในการกรองชนิดแม่เหล็กแบบตามขวาง

ในบทนี้ จะแสดงวิธีการหาสมการคำนวณเส้นทางการเคลื่อนที่ของอนุภาคแม่เหล็กที่เป็นแบบสามมิติในการกรองชนิดแม่เหล็กแบบตามขวาง โดยจะพิจารณาถึงแรงต่างๆที่กระทำต่ออนุภาคแม่เหล็กที่เข้ามาถึงของไหล และสร้างสมการการเคลื่อนที่ของอนุภาค จากนั้นจะกล่าวถึงวิธีการหาค่าการจับอนุภาค (capture radius, r_c) ตลอดจนวิธีการคำนวณหาพื้นที่การจับอนุภาคแม่เหล็ก (capture area, A_c) ซึ่งเป็นข้อมูลสำคัญสำหรับคำนวณหาประสิทธิภาพของการกรองชนิดแม่เหล็กแบบตามขวางต่อไป

3.1 แรงที่กระทำต่ออนุภาคแม่เหล็ก

พิจารณาดักรงชนิดแม่เหล็กแบบตามขวาง ซึ่งประกอบด้วยตัวจับอนุภาคแม่เหล็ก (collector) ที่มีลักษณะเป็นทรงกลมกระจายกันอย่างสุ่มภายใต้สนามแม่เหล็กภายนอกความเข้มสม่ำเสมอ (\vec{H}_0) เมื่ออนุภาคแม่เหล็กทั้งแบบพาราแมกเนติกและไดอะแมกเนติกในระบบของไหลที่ไหลแบบแลมินาร์ เคลื่อนที่เข้ามาในดักรง อนุภาคแม่เหล็กเหล่านี้จะถูกกระทำด้วยแรงต่างๆ ซึ่งได้แก่ แรงโน้มถ่วงของโลก (gravitational force) แรงเฉื่อย (inertial force) แรงทางไฟฟ้า (electric force) แรงแม่เหล็ก (magnetic force) และแรงหนืด (viscous drag force) เนื่องจากอนุภาคแม่เหล็กเหล่านี้มีขนาดเล็กมาก (เส้นผ่านศูนย์กลางน้อยกว่า 200 ไมครอน) จึงละเลยผลของแรงอันเนื่องมาจากแรงดึงดูดของโลกและแรงเฉื่อยได้ ส่วนแรงทางไฟฟ้านั้น ถือว่าเป็นแรงช่วงสั้นมากๆ มีผลต่อการจับอนุภาคแม่เหล็กขณะที่เคลื่อนที่เข้ามาในดักรงน้อยมากถือว่าไม่มีแรงนี้ ดังนั้น จึงเหลือแรงที่มีผลต่อการเคลื่อนที่ของอนุภาคแม่เหล็กขณะที่เคลื่อนที่เข้ามาในดักรงค่อนข้างเด่นชัด เพียง 2 แรง เท่านั้น คือ แรงแม่เหล็ก และแรงหนืด ซึ่งจะแยกพิจารณาแรงแต่ละชนิด ดังนี้



รูปที่ 3.1 แสดงตำแหน่งของอนุภาคแม่เหล็กขณะใดๆ (\vec{r}) ในระบบตัวกรองชนิดแม่เหล็กแบบตามขวาง ($\vec{v}_0 \perp \vec{H}_0$)

ก. แรงแม่เหล็ก (\vec{F}_m)

แรงแม่เหล็กที่กระทำต่ออนุภาคแม่เหล็ก เกิดจากสนามแม่เหล็กเหนี่ยวนำที่เกิดขึ้นจากกลุ่มตัวจับทรงกลมในตัวกรอง (สนามแม่เหล็ก \vec{H} ในสมการที่ (2.41)) ซึ่งมีค่าสภาพให้ซึมได้ทางแม่เหล็กสูง (high permeability) ขณะถูกเหนี่ยวนำด้วยสนามแม่เหล็กภายนอกความเข้มสม่ำเสมอ (\vec{H}_0) พิจารณาอนุภาคแม่เหล็กที่มีขนาดเล็กมากซึ่งมีค่าสภาพรับไว้ได้ทางแม่เหล็กจำเพาะ (specific magnetic susceptibility) เท่ากับ χ_p แทรกอยู่ในระบบของไหลที่มีค่าสภาพรับไว้ได้ทางแม่เหล็กเท่ากับ χ_f ภายใต้ความเข้มสนามแม่เหล็ก \vec{H} จากกลุ่มตัวจับทรงกลม และกำหนดให้ \vec{v}_0 เป็นความเร็วเริ่มต้นของอนุภาคแม่เหล็กขณะเริ่มเคลื่อนที่เข้ามาในตัวกรอง (entrance velocity) ในงานวิจัยนี้ ศึกษากรณี \vec{v}_0 ตั้งฉากกับทิศของสนามแม่เหล็กภายนอกความเข้มสม่ำเสมอ ($\vec{v}_0 \perp \vec{H}_0$) ซึ่งเป็นเงื่อนไขของการกรองชนิดแม่เหล็กแบบตามขวาง ดังแสดงในรูปที่ 3.1

จากรูปที่ 3.1 กำหนดให้ θ เป็นมุมระหว่าง \vec{v}_0 (ซึ่งอยู่ในทิศเดียวกับแกน +Z) กับตำแหน่งของอนุภาคขณะใดๆ (\vec{r}), θ_m เป็นมุมระหว่าง \vec{H}_0 ซึ่งอยู่ในทิศเดียวกับแกน +X กับ \vec{r} และ ϕ เป็นมุมระหว่างเงาของ \vec{r} บนระนาบ XY กับแกน +X ดังนั้น เราจะได้ความสัมพันธ์ระหว่างมุม θ กับมุม θ_m เป็น

$$\cos \theta_m = \sin \theta \cos \phi \quad (3.1)$$

จากสมการที่ (2.41) เราสามารถเขียนสมการความเข้มสนามแม่เหล็ก \vec{H} ในรูปพิกัดเชิงขั้วทรงกลม (spherical polar coordinate) ใหม่ เป็น

$$\vec{H}(r, \theta, \phi) = AH_0 \left[\left(1 + \frac{2K_{sa}^3}{r^3} \right) \cos \theta_m \hat{r} - \left(1 - \frac{K_{sa}^3}{r^3} \right) \sin \theta_m \hat{\theta}_m \right]$$

$$1 < \frac{r}{a} < \frac{1}{\gamma} \quad (3.2)$$

โดยที่
$$A = \frac{1}{1 - \gamma^3 K_s} \quad (3.3)$$

เมื่อ $K_s = \frac{v-1}{v+2}$ ซึ่งจะเรียกว่าค่าคงที่ทางแม่เหล็ก (magnetic constant) และ $\hat{\theta}_m$ เป็นเวกเตอร์หนึ่งหน่วยของมุม θ_m เมื่อแทนสมการที่ (3.1) ลงในสมการที่ (3.2) แล้วจัดรูปสมการที่ (3.2) ใหม่ จะได้

$$\vec{H}(\vec{r}) = AH_o \left[\left(1 + \frac{2K_s a^3}{r^3} \right) \sin \theta \cos \phi \hat{r} - \left(1 - \frac{K_s a^3}{r^3} \right) \sqrt{1 - \sin^2 \theta \cos^2 \phi} \hat{\theta}_m \right],$$

$$1 < \frac{r}{a} < \frac{1}{\gamma} \quad (3.4)$$

และ แรงแม่เหล็กที่กระทำต่ออนุภาคแม่เหล็กขณะใดๆ (ภาคผนวก ก) มีสมการเป็น

$$\vec{F}_m = \left(\frac{2\pi}{3} \right) r_p^3 \mu_o (\chi_p - \chi_f) \vec{\nabla} (\vec{H} \cdot \vec{H}) \quad (3.5)$$

เมื่อ r_p คือ รัศมีของอนุภาคแม่เหล็ก μ_o เป็น ค่าสภาพให้ซึมได้ทางแม่เหล็กของสุญญากาศ มีค่าเท่ากับ $4\pi \times 10^{-7}$ เฮนรีต่อเมตร χ_p คือ ค่าสภาพรับไว้ได้ทางแม่เหล็กของอนุภาคในระบบของไหล และ χ_f คือ ค่าสภาพรับไว้ได้ทางแม่เหล็กของระบบของไหล ในที่นี้อนุภาคแม่เหล็กแบบพาราแมกเนติก หมายถึงกรณีนี้ $\chi_p > \chi_f$ และอนุภาคแม่เหล็กแบบไดอะแมกเนติก หมายถึงกรณีนี้ $\chi_p < \chi_f$ ค่า $(\chi_p - \chi_f)$ ซึ่งเป็นบวก (อนุภาคพาราแมกเนติก) และเป็นลบ (อนุภาคไดอะแมกเนติก) เป็นพารามิเตอร์สำคัญอันหนึ่งที่ทำให้เส้นทางการเคลื่อนที่ของอนุภาคแม่เหล็กแตกต่างกันออกไป

เมื่อพิจารณาผลคูณเชิงสเกลาร์ระหว่าง \vec{H} กับ \vec{H} จะได้

$$\begin{aligned} \vec{H} \cdot \vec{H} = H^2 &= A^2 H_o^2 \left[\left(1 + \frac{2K_s a^3}{r^3} \right)^2 \sin^2 \theta \cos^2 \phi + \left(1 - \frac{K_s a^3}{r^3} \right)^2 (1 - \sin^2 \theta \cos^2 \phi) \right] \\ &= A^2 H_o^2 \left[\left(\frac{6K_s a^3}{r^3} + \frac{3K_s^2 a^6}{r^6} \right) \sin^2 \theta \cos^2 \phi + \left(1 - \frac{K_s a^3}{r^3} \right)^2 \right] \end{aligned} \quad (3.6)$$

และเกรเดียนท์ ($\vec{\nabla}$) ในพิกัดเชิงขั้วทรงกลม เขียนเป็น

$$\vec{\nabla} = \hat{r} \frac{\partial}{\partial r} + \hat{\theta} \frac{1}{r} \frac{\partial}{\partial \theta} + \hat{\phi} \frac{1}{r \sin \theta} \frac{\partial}{\partial \phi} \quad (3.7)$$

ดังนั้น

$$\vec{\nabla}(\vec{H} \cdot \vec{H}) = \hat{r} \frac{\partial H^2}{\partial r} + \hat{\theta} \frac{1}{r} \frac{\partial H^2}{\partial \theta} + \hat{\phi} \frac{1}{r \sin \theta} \frac{\partial H^2}{\partial \phi} \quad (3.8)$$

จากสมการที่ (3.5) เมื่อแยกพิจารณาแต่ละส่วนประกอบย่อยของแรงแม่เหล็กในทิศ
เวกเตอร์หนึ่งหน่วย \hat{r} , และ $\hat{\phi}$ ในพิกัดเชิงขั้วทรงกลม จะพบว่า

$$\vec{F}_m = F_{mr} \hat{r} + F_{m\theta} \hat{\theta} + F_{m\phi} \hat{\phi} \quad (3.9)$$

เมื่อ F_{mr} , $F_{m\theta}$ และ $F_{m\phi}$ เป็นส่วนประกอบของแรงแม่เหล็กในแนวเวกเตอร์หนึ่งหน่วย \hat{r} ,
และ $\hat{\phi}$ ตามลำดับ

เมื่อแทนสมการที่ (3.8) และ (3.9) ลงในสมการที่ (3.5) พิจารณาแต่ละส่วนประกอบ
ย่อยของแรงแม่เหล็ก จะพบว่า

$$F_{mr} = \frac{2\pi}{3} r_p^3 \mu_o \chi \left(\frac{\partial H^2}{\partial r} \right), \quad (3.10)$$

$$F_{m\theta} = \frac{2\pi}{3} r_p^3 \mu_o \chi \left(\frac{1}{r} \frac{\partial H^2}{\partial \theta} \right), \quad (3.11)$$

และ

$$F_{m\phi} = \frac{2\pi}{3} r_p^3 \mu_o \chi \left(\frac{1}{r \sin \theta} \frac{\partial H^2}{\partial \phi} \right) \quad (3.12)$$

เมื่อ $\chi = \chi_p - \chi_f$

พิจารณาเทอม $\left(\frac{\partial H^2}{\partial r}\right)$, $\left(\frac{1}{r} \frac{\partial H^2}{\partial \theta}\right)$ และ $\left(\frac{1}{\sin \theta} \frac{\partial H^2}{\partial \phi}\right)$ จะพบว่า

$$\frac{\partial H^2}{\partial r} = A^2 H_0^2 \left[-18 \left(\frac{K_s a^3}{r^4} + \frac{K_s^2 a^6}{r^7} \right) \sin^2 \theta \cos^2 \phi + 6 \left(\frac{K_s a^3}{r^4} - \frac{K_s^2 a^6}{r^7} \right) \right], \quad (3.13)$$

$$\frac{1}{r} \frac{\partial H^2}{\partial \theta} = A^2 H_0^2 \left(\frac{6K_s a^3}{r^4} + \frac{3K_s^2 a^6}{r^7} \right) \sin 2\theta \cos^2 \phi, \quad (3.14)$$

และ
$$\frac{1}{r \sin \theta} \frac{\partial H^2}{\partial \phi} = -A^2 H_0^2 \left(\frac{6K_s a^3}{r^4} + \frac{3K_s^2 a^6}{r^7} \right) \sin \theta \sin \phi \quad (3.15)$$

แทนสมการที่ (3.13), (3.14) และ (3.15) ลงในสมการที่ (3.10), (3.11) และ (3.12) จะพบว่า ส่วนประกอบย่อยของแรงแม่เหล็กในทิศของเวกเตอร์หนึ่งหน่วย \hat{r} , $\hat{\theta}$ และ $\hat{\phi}$ มีค่าเป็น

$$F_{mr} = \frac{2\pi r_p^3 \mu_o \chi A^2 H_0^2}{3} \left[-18 \left(\frac{K_s a^3}{r^4} + \frac{K_s^2 a^6}{r^7} \right) \sin^2 \theta \cos^2 \phi + 6 \left(\frac{K_s a^3}{r^4} - \frac{K_s^2 a^6}{r^7} \right) \right], \quad (3.16)$$

$$F_{m\theta} = \frac{2\pi r_p^3 \mu_o \chi A^2 H_0^2}{3} \left(\frac{6K_s a^3}{r^4} + \frac{3K_s^2 a^6}{r^7} \right) \sin 2\theta \cos^2 \phi, \quad (3.17)$$

และ
$$F_{m\phi} = -\frac{2\pi r_p^3 \mu_o \chi A^2 H_0^2}{3} \left(\frac{6K_s a^3}{r^4} + \frac{3K_s^2 a^6}{r^7} \right) \sin \theta \sin 2\phi \quad (3.18)$$

เมื่อได้สมการที่ (3.16), (3.17) และ (3.18) แล้วนำกลับไปแทนลงในสมการที่ (3.9) จะได้สมการของแรงแม่เหล็กในรูปพิกัดเชิงขั้วทรงกลมซึ่งจะนำไปใช้สำหรับหาสมการการเคลื่อนที่ของอนุภาคแม่เหล็กซึ่งจะกล่าวในหัวข้อ 3.2 ต่อไป

ข. แรงหนืด (\vec{F}_d)

แรงหนืดที่กระทำต่ออนุภาคแม่เหล็ก เกิดจากความหนืดของของไหล (η) ที่ไหลแบบแลมินาร์ผ่านกลุ่มตัวจับทรงกลมในตัวกรองชนิดแม่เหล็ก ให้แรงหนืดที่กระทำต่ออนุภาคที่เคลื่อนที่ในตัวกลางของไหล สอดคล้องกับกฎของสโตกส์ (Stoke's law) กล่าวคือ

$$\vec{F}_d = -6\pi\eta r_p(\vec{v} - \vec{v}_f) \quad (3.19)$$

เมื่อ r_p เป็นรัศมีของอนุภาคแม่เหล็ก และ \vec{v} เป็นความเร็วของอนุภาคในของไหลขณะเคลื่อนที่เข้ามาในตัวกรอง ซึ่งเขียนในรูปพิกัดเชิงขั้วทรงกลมเป็น

$$\vec{v}(r, \theta, \phi) = \frac{dr}{dt} \hat{r} + r \frac{d\theta}{dt} \hat{\theta} + r \sin\theta \frac{d\phi}{dt} \hat{\phi} \quad (3.20)$$

และ \vec{v}_f เป็นความเร็วของตัวกลางของไหล ซึ่งสำหรับการไหลแบบแลมินาร์ สมการความเร็วของของไหลที่ไหลผ่านกลุ่มทรงกลมที่กระจายอย่างสม่ำเสมอตามแบบจำลองของฮัปเปิล (Happel's model) สำหรับความเร็วเริ่มต้นที่เข้ามา (entrance velocity, \vec{v}_0) เท่ากับ $-v_0 \hat{z}$ (C. Moyer และคณะ, 1984) เขียนได้เป็น

$$\vec{v}_f = A_s v_0 \left[P(r_a, \gamma) \cos\theta \hat{r} - Q(r_a, \gamma) \sin\theta \hat{\theta} \right],$$

$$1 < r_a < \frac{1}{\gamma} \quad (3.21)$$

เมื่อ P และ Q เป็นฟังก์ชันของ r_a และ γ ซึ่งมีค่าเป็น

$$P(r_a, \gamma) = \frac{1}{2r_a^3} - (3 + 2\gamma^5) \frac{1}{2r_a} + 1 + \frac{3}{2}\gamma^5 - \frac{\gamma^5}{2} r_a^2, \quad (3.22)$$

$$Q(r_a, \gamma) = -\frac{1}{4r_a^3} - (3 + 2\gamma^5) \frac{1}{4r_a} + 1 + \frac{3}{2}\gamma^5 - \gamma^5 r_a^2, \quad (3.23)$$

และ $A_s = 2 / (2 - 3\gamma + 3\gamma^5 - 2\gamma^6)$ (3.24)

และในทำนองเดียวกับแรงแม่เหล็ก แรงหนืดสามารถที่จะแยกเป็นส่วนประกอบย่อยของแรงหนืดในทิศของเวกเตอร์หนึ่งหน่วย \hat{r} , $\hat{\theta}$ และ $\hat{\phi}$ เป็น

$$\vec{F}_d = F_{dr} \hat{r} + F_{d\theta} \hat{\theta} + F_{d\phi} \hat{\phi} \quad (3.25)$$

เมื่อ F_{dr} , $F_{d\theta}$ และ $F_{d\phi}$ เป็นส่วนประกอบย่อยของแรงหนีตในทิศของเวกเตอร์หนึ่งหน่วย \hat{r} , $\hat{\theta}$ และ $\hat{\phi}$ ตามลำดับ เมื่อแทนสมการที่ (3.20), (3.21) และ (3.25) ลงในสมการที่ (3.19) จะพบว่า

$$F_{dr} = -6\pi\eta r_p \left[\frac{dr}{dt} - A_s v_o P(r_a, \gamma) \cos \theta \right], \quad (3.26)$$

$$F_{d\theta} = -6\pi\eta r_p \left[r \frac{d\theta}{dt} + A_s v_o Q(r_a, \gamma) \sin \theta \right], \quad (3.27)$$

และ

$$F_{d\phi} = -6\pi\eta r_p r \sin \theta \frac{d\phi}{dt} \quad (2.28)$$

ในการทำงานเดียวกันกับแรงแม่เหล็ก เมื่อได้สมการที่ (3.26), (3.27) และ (3.28) นำกลับไปแทนลงในสมการที่ (3.25) จะได้สมการของแรงหนีตในรูปพิกัดเชิงขั้วทรงกลม ซึ่งจะนำไปใช้สำหรับหาสมการการเคลื่อนที่ของอนุภาคแม่เหล็กขณะเคลื่อนที่เข้ามาในตัวกรอง ร่วมกับแรงแม่เหล็กในหัวข้อต่อไป

3.2 สมการการเคลื่อนที่ของอนุภาคแม่เหล็ก

สำหรับอนุภาคแม่เหล็กซึ่งมีขนาดเล็กมาก แรงลัพท์ที่กระทำต่ออนุภาคแม่เหล็กเนื่องจากแรงแม่เหล็กและแรงหนีต เขียนได้เป็น

$$\vec{F}_m + \vec{F}_d = 0 \quad (3.29)$$

แทนสมการที่ (3.9) และ (3.25) ลงในสมการที่ (3.29) และแยกพิจารณาแต่ละส่วนประกอบย่อยของแรงที่กระทำต่ออนุภาคแม่เหล็ก จะพบว่า

$$F_{mr} + F_{dr} = 0, \quad (3.30)$$

$$F_{m\theta} + F_{d\theta} = 0, \quad (3.31)$$

และ
$$F_{m\phi} + F_{d\phi} = 0 \quad (3.32)$$

หลังจากแทนสมการที่ (3.16) และ (3.26) ลงในสมการที่ (3.30) , แทนสมการที่ (3.17) และ (3.27) ลงในสมการที่ (3.31) และแทนสมการที่ (3.18) และ (3.28) ลงในสมการที่ (3.32) แล้วจัดรูปสมการใหม่ จะพบว่าสมการที่ (3.30) , (3.31) และ (3.32) สามารถเขียนใหม่เป็น

$$\frac{dr_a}{dt} = v_{oa} A_s P(r_a, \gamma) \cos \theta - A^2 v_{ma} r_a^{-4} \left\{ 3 \left[1 + \frac{K_s}{r_a^3} \right] \sin^2 \theta \cos^2 \phi + \left[\frac{K_s}{r_a^3} - 1 \right] \right\}, \quad (3.33)$$

$$\frac{d\theta}{dt} = -v_{oa} A_s r_a^{-1} Q(r_a, \gamma) \sin \theta + A^2 v_{ma} r_a^{-5} \left[1 + \frac{K_s}{2r_a^3} \right] \sin 2\theta \cos^2 \phi, \quad (3.34)$$

และ
$$\frac{d\phi}{dt} = -A^2 v_{ma} r_a^{-5} \left[1 + \frac{K_s}{2r_a^3} \right] \sin 2\phi \quad (3.35)$$

เมื่อ $1 < r_a < \frac{1}{\gamma}$, $r_a = \frac{r}{a}$, $v_{oa} = \frac{v_o}{a}$ และ $v_{ma} = \frac{2\chi\mu_o K_s H_o r_p}{3\eta a^2}$

เมื่อ $\varphi_o = 0$ สมการที่ (3.33) - (3.35) จะลดรูปเป็นสมการการเคลื่อนที่แบบสองมิติ ตรงกับกรณีของ C. Moyer และคณะ (1984) และตรงกับกรณีของ F. J. Friedlaender และคณะ (1981) สำหรับตัวจับอนุภาคเดี่ยว ($\gamma^3 \Rightarrow 0$ และ $\varphi_o = 0$) แต่สมการการเคลื่อนที่ของอนุภาคในตัวกลางยังผล (กรณีที่ $r_a > \frac{1}{\gamma}$) ซึ่งมีค่าความหนืดคงที่ โดยความเร็วของของไหลไม่ต่างจากความเร็วเริ่มต้น (\vec{v}_o) เขียนได้ดังนี้

$$\frac{dr_a}{dt} = v_{oa} \cos \theta, \quad (3.36)$$

$$\frac{d\theta}{dt} = -v_{oa} r_a^{-1} \sin \theta, \quad (3.37)$$

และ
$$\frac{d\phi}{dt} = 0 \quad (3.38)$$

โดยแรงแม่เหล็กในตัวกลางยังผลเป็นศูนย์ เนื่องจากสนามแม่เหล็กคงที่ในบริเวณนี้ตามสมการที่ (2.42)

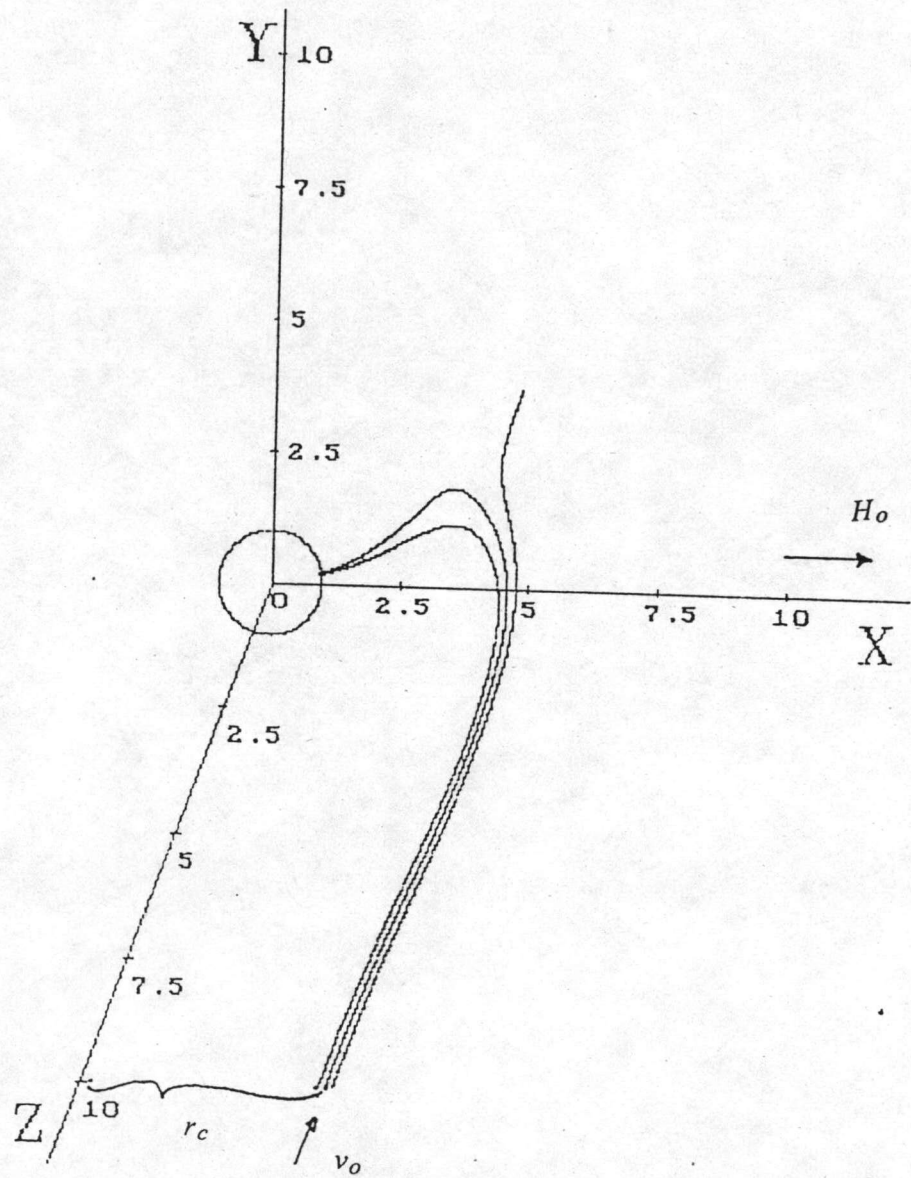
3.3 เส้นทางการเคลื่อนที่ของอนุภาคแม่เหล็กในขณะทีอนุภาคเคลื่อนที่เข้ามาในตัวทรงชนิดแม่เหล็กแบบตามขวาง

ตำแหน่งของอนุภาคแม่เหล็กขณะใดๆ (\vec{r}) สามารถคำนวณหาได้โดยการแก้สมการที่ (3.33), (3.34) และ (3.35) สำหรับอนุภาคแม่เหล็กขณะเคลื่อนที่เข้ามาในบริเวณตัวจับ หรือสมการที่ (3.36), (3.37) และ (3.38) สำหรับอนุภาคแม่เหล็กขณะเคลื่อนที่เข้ามาในบริเวณตัวกลางยังผล โดยจะคำนวณด้วยวิธีรังกัดตาอันดับที่ 4 (the fourth-order Runge-Kutta method) ซึ่งวิธีการคำนวณได้แสดงไว้ในภาคผนวก ค ตำแหน่งของอนุภาคแม่เหล็กขณะใดๆที่ได้จะเป็นฟังก์ชันของสัดส่วนการบรรจุตัวจับอนุภาค (γ^3) และสนามแม่เหล็กภายนอกความเข้มสม่ำเสมอ (\vec{H}_0)

3.4 ประสิทธิภาพการจับอนุภาคแม่เหล็กในการทรงชนิดแม่เหล็กแบบตามขวาง

พิจารณารูปที่ 3.2 อนุภาคแม่เหล็กขณะเคลื่อนที่เข้ามาในตัวทรงเคลื่อนที่ด้วยอัตราเร็วเริ่มต้นเท่ากับ v_0 เข้ามาทางแกน Z ที่ตำแหน่งนี้อนุภาคจะห่างจากแกน Z เท่ากับ R_0 ที่ระยะ Z เท่ากับ Z_0 เราจะเรียก R_0 นี้ ว่ารัศมีการจับอนุภาคแม่เหล็ก (capture radius, r_c) ก็ต่อเมื่อ R_0 เป็นระยะที่มากที่สุดที่อนุภาคขณะเคลื่อนที่เข้ามาในตัวทรงยังคงถูกจับอยู่

สำหรับการทรงชนิดแม่เหล็กแบบตามขวางนี้ เมื่อเปลี่ยนมุมระหว่างระนาบของความเร็วเริ่มต้นกับระนาบสมมาตรหลัก รัศมีการจับที่ได้จะเปลี่ยนไปขึ้นอยู่กับชนิดของอนุภาคแม่เหล็ก (พาราแมกเนติกและไดอะแมกเนติก) สัดส่วนการบรรจุตัวจับอนุภาคแม่เหล็ก (γ^3) และสนามแม่เหล็กภายนอกความเข้มสม่ำเสมอ (\vec{H}_0) พื้นที่การจับอนุภาคแม่เหล็ก (ระนาบที่ขนานกับระนาบ XY ที่ระยะ Z เท่ากับ Z_0 ดังแสดงในรูปที่ 3.2 แทนด้วย A_c) ที่ได้ จะไม่เป็นวงกลม ต่างกับพื้นที่การจับอนุภาคในการทรงชนิดแม่เหล็กแบบตามยาว ซึ่งพื้นที่การจับอนุภาคที่ได้มี



รูปที่ 3.2 แสดงการวัดรัศมีการจับอนุภาคแม่เหล็ก (r_c) ในระบบตัวกรองชนิดแม่เหล็กแบบตามขวาง ($\vec{v}_0 \perp \vec{H}_0$)

ลักษณะเป็นวงกลมสะดวกต่อการคำนวณมากกว่า กล่าวคือ สามารถคำนวณได้จากพื้นที่วงกลม ($A_c = \pi r_c^2$) ได้เลย แต่สำหรับการกรองชนิดแม่เหล็กแบบตามขวางนี้ การคำนวณเพื่อหาพื้นที่การจับจะใช้วิธีการอินทิเกรตเชิงตัวเลข (numerical integration) ซึ่งโปรแกรมการคำนวณได้แสดงไว้ในภาคผนวก ง และจะใช้พื้นที่การจับอนุภาคที่ได้มาคำนวณหาประสิทธิภาพของการกรอง (ϵ) ซึ่งมีสมการคำนวณเป็น (ภาคผนวก ข)

$$\epsilon = 1 - \exp\left(-\frac{3A_c \gamma^3 L}{4\pi a^3}\right) \quad (3.39)$$

เมื่อ L คือความหนาของระบบตัวกรอง

จากสมการที่ (3.39) ประสิทธิภาพการจับอนุภาคแม่เหล็กที่คำนวณได้นี้ขึ้นอยู่กับสัดส่วนการบรรจุตัวจับอนุภาค สนามแม่เหล็กภายนอกความเข้มข้นสม่ำเสมอ และความหนาของระบบตัวกรอง